



IRANIAN SOCIETY of
CRYSTALLOGRAPHY
and MINERALOGY

Vol. 13, No. 2, 1384/2005 Fall & Winter

IRANIAN JOURNAL of
CRYSTALLOGRAPHY
and MINERALOGY

Textural and mineralogical evidences of magma mixing in the trachyandesitic lava flows in the Ab-e-Torsh district, Western Qazvin, Iran

A. Asiabanza¹, A. Kananian²

1- Geology Dept. Faculty of Science, Imam Khomeini Int. University

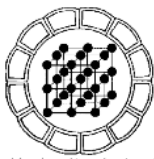
2- Geology Dept. Faculty of Science, Tehran University

Email: asiabanza@ikiu.ac.ir

(Received: 28/11/2004, received in revised form: 18/08/2005)

Abstract: Trachyandesitic rocks in the Ab-e-Torsh region, western Qazvin, have considerable thickness and extensive outcrops ($>200 \text{ Km}^2$) that form parts of the Alborz Paleogene volcanic belt. These rocks that can be correlated with the upper member of the Karaj formation, are subaerial eruptions with lava flows and some lava domes. Geochemically, these are classified as shoshonitic series. Occurrence of some textural evidences (e.g., reaction rims, sieve textures and oscillatory zoning in feldspars and augites phenocrysts) and coexistence of inequilibrium plagioclase phonocrysts (An_{5-20} , An_{36-61} , An_{77-93}), as well as compositional differences between phenocrysts and their surrounded mesostasis, all suggest that the magmatic evolutionary processes could have been occurred in an open system. On the other hand, existence of some alterations such as opacitization in phlogopitic biotites and paragasic hornblends might be related to the late stages of the magmatic evolution with high f_{O_2} and $P_{\text{H}_2\text{O}}$. Considering textural and mineralogical observations, as well as dispersion of the whole rock geochemical data, one may conclude that the magmatic evolution have been occurred by periodic refreshment of alkaline and basic magma by a more acidic intrusion.

Keywords: *Trachyandesite, Alborz Zone, Paleogene belt, Sieve texture, Oscillatory zoning, Magma mixing.*



شواهد بافتی - کانی شناسی حاکی از وقوع اختلاط ماقمایی در گدازه‌های تراکی آندزیتی پالئوژن منطقه آبرترش، غرب قزوین

عباس آسیابانها^۱، علی کعنانیان^۲

۱ - دانشگاه بین المللی امام خمینی (ره)، دانشکده علوم پایه، گروه زمین شناسی

۲ - دانشگاه تهران، دانشکده علوم، گروه زمین شناسی

پست الکترونیکی: asiabanza@ikiu.ac.ir

(دریافت مقاله ۱۳۸۳/۹/۷ ، دریافت نسخه نهایی ۱۳۸۴/۵/۲۷)

چکیده: سنگهای تراکی آندزیتی منطقه آبرترش در غرب قزوین با حجم و ضخامت زیاد، در گستره وسیعی (بیش از ۲۰۰ کیلومتر مربع) در غرب زون آتشفشاری البرز رخنمون دارند. این سنگها که به صورت روانه گدازه و ندرتاً دم گدازه در محیط هوایی خارج شده‌اند، آخرین واحد از سنگهای معادل سازند کرج به سبک پالئوژن را شامل می‌شوند و از نظر ژئوشیمیایی جزء سری شوشونیتی رده بندی می‌شوند. مشاهده برخی روابط بافتی نظیر حاشیه‌های واکنشی، بافت غربالی و منطقه بندی نوسانی در فتوکریستهای فلدسپات و اوپیت وجود پلازیوکلازهایی با ترکیب نامتعادل با هم (An_{5-20} , An_{36-61} , An_{77-93}) و نیز تفاوت‌های ترکیبی فاحش بین ترکیب فتوکریستها و مزومستاز دربرگیرنده آنها، حکایت از وقوع فرایندهای تحول ماقمایی در یک سیستم ترمودینامیکی باز می‌کند. همچنین شواهدی چون اپاسیتی شدن بیوپیتھای فلوگوپیتی و هورنبلندهای پاراگازیتی نشان از بالا بودن f_{O_2} و P_{H_2O} طی آخرین مرحله تشکیل سنگهای مذکور دارد. با توجه به مجموع مشاهدات بافتی و کانی شناسی فوق و نیز پراکندگی داده‌های شیمی سنگهای مذکور در نمودارهای ژئوشیمیایی می‌توان نتیجه گرفت که فرایندهای ماقمایی گدازه تراکی آندزیتی از طریق ورود ضربانهایی از ماقماهای اسیدی‌تر به داخل مخزن ماقمایی بازیک و آلکالن قابل توضیح است.

واژه‌های کلیدی: تراکی آندزیت، زون البرز، نوار پالئوژن، بافت غربالی، منطقه بندی نوسانی، اختلاط ماقمایی

مقدمه

سنگهای آتشفسانی و آذرآواری نوار پالئوژن در زون البرز، محصول فعل و انفعالهای متعددی حین تشکیل، صعود و تبلور مagma‌ای پدید آورنده آنهاست. از دیگر سو فرایندهایی چون زمین ساختی، پلوتونیسم و دگرسانی گسترده باعث پیچیده‌تر شدن و گاه مخدوش شدن آثار و پیامدهای ناشی از فعالیتهای آتشفسانی شده است. معهداً کانیهای سنگهای آتشفسانی همچون کانیهای شاخص دگرگونی، می‌توانند نشانه‌هایی از حوادث صورت گرفته طی تبلور و انجام درا نشان دهند و از این رهگذر، اهمیت بالقوه‌ای در تمایز فرایندهای زمین‌شناسی ایفا می‌کنند.

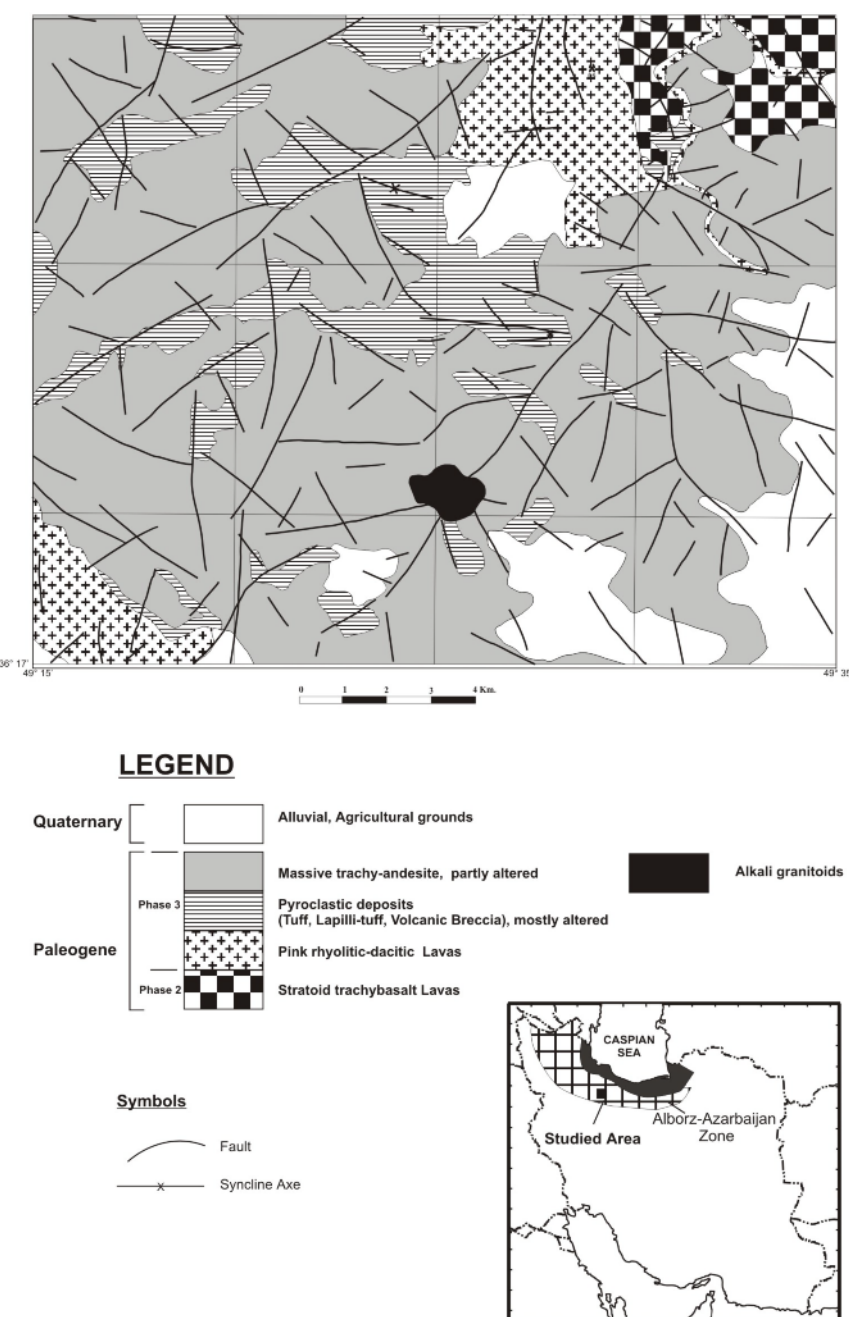
منطقه آبرتش واقع در شمال غرب قزوین و جنوب لوشان از نظر تقسیمات زمین‌شناسی ایران، در بخش‌های غربی زون البرز قرار دارد (شکل ۱). به غیر از رخمنوهای محدود آبرفتی پلیوکواترنر و نیز توده‌های نفوذی نیمه عمیق مونزونیتی تا گرانیتوئیدی، سایر رخمنوهای از توالیهای ضخیم آتشفسانی و ولکانی کلاستیکی پالئوژن تشکیل شده‌اند و در مجموع منطقه‌ای با توپوگرافی کوهستانی را تشکیل می‌دهند.

بخش اعظم منطقه مورد مطالعه از سنگهای آتشفسانی و آذرآواری پالئوژن تشکیل شده است (شکل ۱) که در چینه‌شناسی ایران، معادل سازند کرج [۱] درنظر گرفته می‌شود. اما به غیر از مانستگاهی‌های سنی با مقطع نمونه در دره کرج، تفاوت‌های لیتوولوژیکی بارزی بین آنها مشهود است [۲]. بر اساس همین تفاوت‌های لیتوولوژیکی که خود منبعث از تفاوت فرایندها و محیط‌های به وجود آورنده آنهاست، محققین مختلف [۲ و ۳] تقسیمات جداگانه‌ای را برای سنگهای مذبور ارائه کرده‌اند. به نحوی که مهمترین واحدهای آتشفسانی و ولکانی کلاستیک منطقه آبرتش که در شرایط هوایی به منصة ظهور رسیده‌اند [۴] برحسب ترتیب سنی عبارتنداز: ۱- روانه گدازه‌های تراکی بازالتی، ۲- دم گدازه‌های داسیتی، ۳- سنگهای آذرآواری، ۴- روانه گدازه‌های تراکی آندزیتی.

از آنجا که بیشتر حجم محصولات آتشفسانی منطقه در این زمان از جنس گدازه هستند تا سنگهای آذرآواری. به همین دلیل نام «ولکانیکهای پالئوژن» را که واژه عمومی‌تری است به جای نام سازند کرج برگزیده‌ایم. آخرین واحد آتشفسانی منطقه که در بخش‌های جنوبی منطقه از حجم و گسترش قابل توجهی برخوردار است و در واقع بالاترین افق چینه‌شناسی را به خود اختصاص می‌دهد روانه گدازه‌های توده‌ای و گاه دمهای گدازه با ترکیب تراکی آندزیتی (لاتیتی) است که در اغلب رخمنوها روی پیروکلاستیت‌های ریزشی یا به صورت بین لایه‌ای با آنها قرار می‌گیرد و گاه بین این دو یک افق پالئوسل نیز دیده می‌شود که خود تأییدی است بر محیط هوایی فوران [۴].

به علاوه، زمین ساختی فعال منطقه، باعث بروز گسل خوردگی پس از تشکیل سنگهای مذبور شده و از این جهت در حوادث پلوتونیکی و گرمابی بعدی موجبات دگرسانی بعدی را فراهم کرده و حتی در آنها ذخایری از نوع کائولینیت، سیلیس و آلونیت را پدید آورده است [۵]

و ۶]. هدف از انجام این مطالعه، تفسیر فرآیندهای ماگمایی بوجود آورنده گذاره تراکی آندزیتی از روی روابط بافتی و شیمی کانیهای است.



شکل ۱ نقشه زمین شناسی منطقه و موقعیت آن در زون البرز.

روش مطالعه

برای دستیابی به فرایندهای پدید آورنده گدازه‌های تراکی‌آندزیتی، پس از مشخص شدن پراکندگی و نیز روابط صحرایی روانه گدازه مورد بحث از طریق نقشه برداری صحرایی، اقدام به نمونه‌گیریهای متعدد از بخش‌های مختلف رخنمون مورد بحث گردید. پس از مطالعات سنگ-شناصی اولیه، شواهدی از وقوع بافت‌های نامتعادل مشاهده شد. به همین منظور ادامه بررسیها موكول به کسب داده‌های ژئوشیمیایی از سنگ کل و نیز آنالیز میکروپریوب الکترونی از برخی فنوکریستها شد. برای تعیین روابط ژئوشیمیایی، نمونه‌هایی جهت آنالیز XRF به آزمایشگاه شیمی سازمان زمین شناسی کشور ارسال شد و برای آنالیز میکروپریوب نیز، نمونه‌هایی در مرکز فرانسوی تحقیقات دریایی اروپا (IFREMER) به وسیله دستگاه CAMECA-SX50 مورد تجزیه نقطه‌ای قرار گرفت (جدول ۱ و ۲).

سنگ شناسی

سنگ‌های تراکی‌آندزیتی مورد بحث، در نمونه دستی به رنگ خاکستری تیره هستند و بافت‌های متنوعی چون میکرولیتیک پورفیری، جریانی، گلومروپورفیری و فلیستیک را نشان می‌دهند. در این سنگها فنوکریستهای پلاژیوکلاز (الیکوکلاز تا آندزین)، سانیدین، کوارتز، مقدار کمی اوژیت و البوین همراه با فلوگوپیت آهن‌دار و هورنبلند پاراگازیتی و ریز بلورهای آپاتیت و کانیهای کدر (شامل ماقنیتیت، کالکوپیریت و هماتیت) در خمیره‌ای شیشه‌ای و میکرولیتی قرار گرفته‌اند.

به دلیل دگرسانیهای دوتیریک، گرمابی و حتی دویتیریک، کانیهای مورد اشاره غالباً به کانیهای ثانویه دیگری تبدیل شده‌اند که مشاهدات زیر حکایت از وقوع این پدیده‌ها دارند:

- اکسایش بیوتیت و هورنبلند به اکسیدهای آهن هنگام بیرون ریزی گدازه در محیط هوایی.
- سریسیتی شدن پلاژیوکلاز و سانیدین ناشی از دگرسانی گرمابی.
- کلریتی شدن فازهای مافیک نظیر بیوتیت، آمفیبول، اوژیت و مزوستاز بین بلورها ناشی از دگرسانی گرمابی و دویتیریک.
- زئولیتی شدن ناشی از دگرسانی گرمابی.
- ایدینگسیتیزاسیون البوین.
- سوسوریتیزاسیون و سیلیسی شدن فلدرسپاتها.

شکل ۲ نام سنگ‌های مذکور را در نمودار TAS [۷] نشان می‌دهد. در نمودار مذکور جهت مقایسه و طرح مبانی بحث قسمت بعد، نقاط مبین روانه گدازه‌های تراکی بازالتی نیز آورده شده‌اند. چنانچه معلوم است این نمونه‌ها با نمونه‌های تراکی‌آندزیتی قربت ترکیبی زیادی نشان می‌دهند. موضوع چگونگی ارتباط زایشی بین آنها بحث برانگیز و پاسخ به آن مورد توجه این بررسی بوده است.

جدول ۱ نتایج تجزیه میکروپرورب فنوکریستهای پلازیوکلار.

شماره نقطه	۱۹۳/۱۲۲	۱۹۵/۱۳۲	۱۹۶/۱۲۲	۱۹۷/۱۳۲	۱۹۸/۱۳۲	۱۹۹/۱۳۲	۲۰۱/۱۳۲
SiO ₂	۴۶,۵۶۷	۵۴,۶۹۶	۵۴,۴۷	۵۴,۸۵	۵۳,۸۹۹	۴۹,۱۳۷	۴۸,۴۱۲
TiO ₂		۰,۰۱۵		۰,۱۴۲	۰,۰۵۴	۰,۰۲	۰,۰۵۶
Al ₂ O ₃	۳۲,۶۲۹	۲۸,۱۶۷	۲۸,۰۶۴	۲۷,۳۸۵	۲۶,۶۱۹	۳۲,۰۲۴	۳۲,۰۲۵
FeO _(t)	۰,۸۹۱	۰,۶۱	۰,۷۹۷	۰,۵۶۹	۰,۵۷۳	۰,۷۰۱	۰,۵۵۷
MnO	۰,۰۳	۰,۰۴۱	۰,۰۲				
MgO	۰,۰۴۷	۰,۰۶۳	۰,۰۹۳	۰,۱۰۲	۰,۰۹۹	۰,۰۸۷	۰,۰۵۲
CaO	۱۷,۰۷۴	۱۱,۶۴۸	۱۱,۶۲۶	۱۰,۷۷۸	۱۰,۶۴۳	۱۵,۸۵۱	۱۶,۵۷۱
Na ₂ O	۱,۶۷۳	۴,۵۹۲	۴,۲۲۹	۴,۸۸۴	۴,۵۲۲	۲,۰۵۸	۲,۱۸۷
K ₂ O	۰,۰۹۶	۰,۶۸۵	۰,۶۲۶	۰,۷۴۳	۰,۸۰۴	۰,۲۳۵	۰,۱۸
P ₂ O ₅	-	-	-	-	-	-	-
Total	۹۹,۰۰۷	۱۰۰,۰۵۲	۱۰۰,۰۰۳	۹۹,۴۵	۹۷,۲۱	۱۰۰,۰۸۴	۱۰۰,۰۰۵
%An	۸۲,۲۰	۵۶,۰۷	۵۷,۵۴	۵۲,۵۷	۵۳,۸۰	۷۶,۲۱	۷۹,۸۹
شماره نقطه	۲۴۶/۱۲۲	۲۴۷/۱۲۲	۹/۱۳۵	۱۵/۱۴۰	۱۶/۱۴۰	۱۷/۱۴۰	۱۸/۱۴۰
SiO ₂	۵۴,۷۸	۵۶,۴۶۱	۵۵,۲۴۳	۵۸,۴۶۹	۵۸,۰۷۲	۶۰,۱۶۳	۵۸,۱۴۰۶
TiO ₂	۰,۰۳	۰,۰۵	۰,۰۹۳	۰,۰۵۶	۰,۱۴۳	۰,۰۵۴	۰,۰۶۶
Al ₂ O ₃	۲۷,۹۶۵	۲۷,۰۶۵	۲۷,۴۸۲	۲۵,۶۴۲	۲۶,۹۲۷	۲۴,۰۷۰	۲۵,۰۶۳
FeO _(t)	۰,۴۷۵	۰,۴۵۷	۰,۵۹۶	۰,۵۷۶	۰,۵۸۳	۰,۳۹۴	۰,۴۹۲
MnO	-	۰,۰۱۲	۰,۰۲۸		۰,۰۴۸	۰,۰۴۸	۰,۰۳
MgO	۰,۰۷۱	۰,۰۳۱	۰,۰۷۷	۰,۰۶۹	۰,۰۳۱	۰,۰۰۴	۰,۰۴۶
CaO	۱۱,۲۴	۱۰,۱۸۵	۱۱,۲۶۳	۱۰,۴۳۳	۹,۶۹۳	۷,۰۳۲	۸,۰۵۴
Na ₂ O	۴,۶۹۵	۵,۳۴۷	۴,۶۷۸	۶,۰۶۹	۵,۴۶۸	۶,۷۱۲	۶,۰۱۱
K ₂ O	۰,۷۰۹	۰,۸۹۵	۰,۶۹۲	۰,۹۴۶	۰,۹۷	۱,۰۴	۱,۱۲۴
P ₂ O ₅	-	-	-	-	-	-	-
Total	۹۹,۹۶۵	۱۰۰,۰۵۰	۱۰۰,۰۱۵	۱۰۰,۰۲۹۶	۱۰۲,۰۶۲	۱۰۰,۰۴۷	۱۰۰,۰۳۶
%An	۵۴,۶۲	۴۸,۶۷	۵۴,۱۸۰	۴۱,۰۵	۴۶,۰۷۳	۳۵,۰۳۱	۴۱,۰۱۸
نقطه شماره	۱۹/۱۴۰	۲۱/۱۴۰	۲۴/۱۴۶	۲۵/۱۴۶	۲۶/۱۴۶	۱۷/۱۵۸	۱۸/۱۵۳
SiO ₂	۵۷,۷۲۵	۵۵,۲۹۷	۶۰,۶۲۹	۶۰,۳۳۶	۶۰,۱۶۳	۵۵,۳۵۷	۵۷,۳۹۸
TiO ₂	۰,۰۱	۰,۰۴۶	۰,۰۳۷	۰,۰۳۴	۰,۰۲۸	-	-
Al ₂ O ₃	۲۵,۹۲۴	۲۷,۷۶۴	۲۴,۷۴۴	۲۴,۹۷۵	۲۵,۰۶۱	۲۷,۴۲۳	۲۶,۹۶۴
FeO _(t)	۰,۵۷۶	۰,۳۹۳	۰,۱۵۸	۰,۲۱۶	۰,۲۲۸	۰,۴۳۳	۰,۳۵۸
MnO	۰,۰۲۲	-	-	-	-	۰,۰۴۸	-
MgO	۰,۰۶۶	۰,۰۱	-	۰,۰۰۱	-	۰,۰۳۴	-
CaO	۹,۰۲۶	۱۰,۷۴۸	۶,۹۳۲	۷,۰۵۲	۷,۴۰۹	۱۰,۰۵۴	۹,۲۵۲
Na ₂ O	۵,۷۹۲	۴,۹۴۹	۶,۹۱۶	۷,۰۵۹	۷,۱۶۶	۵,۳۳۳	۶,۲۴۳
K ₂ O	۱,۰۲۱	۰,۸۰۱	۱,۰۱۶	۰,۵۹۶	۰,۶۰۲	۰,۶۲۲	۰,۵۷۶
P ₂ O ₅	-	-	-	-	-	-	-
Total	۱۰۰,۱۷	۱۰۰,۰۱	۱۰۰,۰۴۳	۱۰۱,۰۷	۱۰۱,۰۳۶	۱۰۰,۰۱۰	۱۰۰,۰۷۹
%An	۴۳,۵۶	۵۲,۰۳	۳۳,۰۵۵	۳۶,۰۰	۳۵,۰۱۲	۵۱,۰۱	۴۴,۰۲۶

ادامه جدول ۱ نتایج تجزیه میکروپریوب فنوکریستهای پلازیوکلار.

شماره نقطه	۱۱۹/۱۵۳	۱۲۰/۱۵۳	۱۲۱/۱۵۳	۱۲۲/۱۵۳	۱۲۳/۱۵۳	۱۲۴/۱۵۳	۱۲۵/۱۵۳	۱۲۶/۱۵۳
SiO ₂	۵۸,۴۵۵	۵۵,۷۳۴	۵۷,۵۵۹	۵۷,۷۸۴	۵۸,۲۶۱	۵۸,۹۱۸	۵۱,۴۷۹	
TiO ₂	-/۰۴۲	-/۰۱۹	-/۰۵۷	-	-/۰۴	-/۰۲۷	-/۰۳۴	
Al ₂ O ₃	۲۶,۶۷۱	۲۷,۲۹	۲۶,۱۱۶	۲۶,۱۳۸	۲۵,۷۸۵	۲۵,۳۱۱	۲۵,۷۳۲	
FeO _(t)	-/۱۹۷	-/۲۴۸	-/۴۲۳	-/۱۹۸	-/۳۷۶	-/۴۶۹	-/۳۱۷	
MnO	-/۰۱۹	-/۱۱۳	-/۰۵	-/۱۴۹	-/۰۳۲	-	-/۰۱۴	
MgO	-/۰۱۳	-/۰۰۳	-/۰۶	-/۰۳	-/۰۲۹	-/۰۳۹	-/۰۱۳	
CaO	۸,۸۲	۱۰,۰۹۴	۸,۷۱۱	۹,۳۹۱	۸,۵۸	۸,۱۱۵	۸,۱۳۹۶	
Na ₂ O	۶,۳۵۲	۵,۵۹۱	۶,۲۶۹	۶,۰۶۷	۶,۳۹۳	۶,۴۷۷	۶,۴۱۵	
K ₂ O	-/۶۱۱	-/۴۸۵	-/۶۵۳	-/۶۳۳	-/۷۱۶	-/۷۶۵	-/۷۵	
P ₂ O ₅	-	-	-	-	-	-	-	
Total	۱۰۱/۱۸	۹۹/۵۸	۹۹/۹۰	۱۰۰/۳۹	۱۰۰/۲۱	۱۰۰/۱۲	۱۰۰/۲۱	
%An	۴۱,۹۲	۴۸,۵۵	۴۱,۸۱	۴۴,۴۶	۴۰,۵۵	۳۹,۱۲	۳۹,۹۳	
شماره نقطه	۱۲۷/۱۵۳	۱۲۸/۱۵۳	۱۲۹/۱۵۳	۱۶۸/۱۴۸	۱۶۹/۱۴۸	۱۷۱/۱۴۸	۱۷۴/۱۴۸	
SiO ₂	۵۲,۹۰۵	۵۶,۶۵۴	۵۸,۴۰۹	۶۳,۳۷۱	۶۵,۹۶۷	۶۵,۱۰۶	۶۵,۷۰۱	
TiO ₂	-	-/۰۲	-	-/۰۰۷	-/۰۱	-/۰۲۰۵	-	
Al ₂ O ₃	۲۹,۱۲۲	۲۵,۵۸۵	۲۵,۸۰۸	۲۰,۷۴۹	۲۰,۸۰۵	۲۰,۸۲۴	۱۶,۷۴۴	
FeO _(t)	-/۲۴۱	-/۱۲۵	-/۲۸	-/۰۰۹	-	-	-	
MnO	-	-	-	-/۰۴۸	-/۰۱۹	-/۰۳۹	-/۰۶۴	
MgO	-/۰۴۴	-/۰۱۶	-/۰۱۶	-/۰۰۳	-/۰۵	-/۰۲۴	-/۰۰۱	
CaO	۱۲,۴۱۴	۸,۵۱۹	۸,۴۷۶	۱,۹۴۶	۱,۸۹۸	۲,۱۸۲	۹,۰۴	
Na ₂ O	۴,۳۹۲	۶,۵۸	۶,۲۱۳	۱۰,۰۸۵	۱۰,۰۴۹	۱۰,۱۸۲	-/۲۲۲	
K ₂ O	-/۲۹۹	-/۶۵۳	-/۷۳۱	-/۰۵۷	-/۰۱	-/۰۳۸	-/۷	
P ₂ O ₅	-	-	-	-	-	-/۰۰۳	-	
Total	۹۹,۴۲	۹۸,۱۵	۹۹,۹۳	۹۶,۲۷۵	۹۹,۳۱	۹۸,۴۲	۷۲,۵۱	
%An	۵۹,۹۲	۴۰,۱۷	۴۱,۱۷	۹,۸۳	۹,۴۰	۱۰,۸۴	۸۸,۰۵	
شماره نقطه	۲۰۲/۱۳۲	۲۰۳/۱۲۲	۲۴۰/۱۲۲	۲۴۱/۱۲۲	۲۴۴/۱۲۲	۲۴۵/۱۲۲	۱۷۸/۱۴۸	
SiO ₂	۴۵,۷۹۲	۴۶,۶۳۱	۵۸,۵۹۳	۵۳,۹۹۴	۵۷,-۱۱	۵۷,-۳۸	۶۷,۷۰۵	
TiO ₂	-	-	-	-/۱۲۳	-/۰۲۹	-/۰۵۶	-	
Al ₂ O ₃	۳۴,۳۷۶	۳۳,۸۲۳	۲۵,۶۸۴	۲۸,۵۶۴	۲۶,۹۶۷	۲۶,۵۸۱	۱۹,۹۶۷	
FeO _(t)	-/۶	-/۵۷	-/۲۸۹	-/۲۸۸	-/۵۰۵	-/۳۰۲	-/۰۴۲	
MnO	-	-	-/۰۳	-/۰۰۱	-/۰۳	-/۰۲۲	-/۰۰۵۵	
MgO	-/۰۴۴	-/۰۶۹	-/۰۵	-/۰۵	-/۱۴۶	-/۰۷	-	
CaO	۱۸,۳۶۳	۱۷,۷۲۲	۸,۷۸۱	۱۲,۱۰۲	۹,۸۸۵	۹,۹۰۷	-/۷۳۳	
Na ₂ O	-/۷۸۶	۱/۳۴	۶,-۰۳	۴,۳۲۹	۵,۳۹۹	۵,۲۸۸	۱۱,۴۶۱	
K ₂ O	-/۰۴۷	-/۰۷۷	-/۹۵۹	-/۰۵۵۷	-/۰۳۰	-/۹۳۹	-/۰۴۳	
P ₂ O ₅	-	-	-	-	-	-	-	
Total	۱۰۰/۰۱	۱۰۰/۲۳	۱۰۰/۳۹	۱۰۰/۰۱	۱۰۰/۴۸	۱۰۰/۲۰	۱۰۰/۰۱	
%An	۹۲,۵۵	۸۷,۵۷	۴۲,۲۵	۵۸,۷۵	۴۸,۵۲	۴۸,۱۰	۳,۷۴	

ادامه جدول ۱ نتایج تجزیه میکروپرورب فنوکریستهای پلازیوکلار.

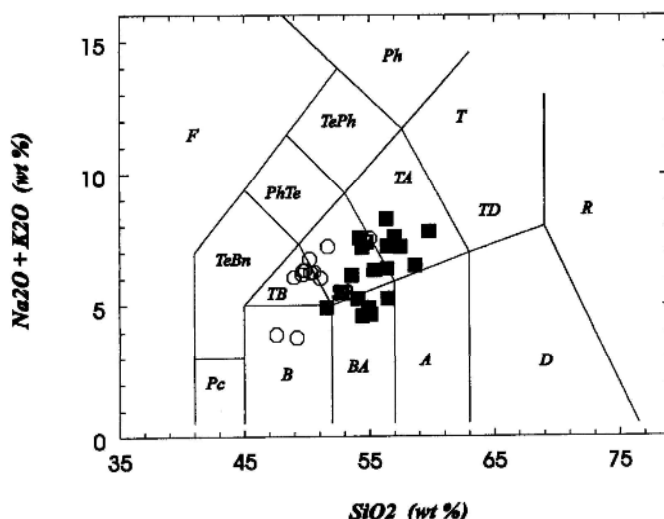
شماره نقطه	۱۷۹/۱۴۸	۱۸۰/۱۱۴۸	۱۸۱/۱۱۴۸	۱۸۲/۱۱۴۸
SiO ₂	۶۵/۹۶	۶۷/۱۴۶	۶۶/۲۲۲	۶۲/۹۵۹
TiO ₂	-	۰/۰۱	-	-
Al ₂ O ₃	۲۰/۷۳۲	۲۰/۲۶۵	۱۹/۴۴۶	۲۰/۳۶۲
FeO _(t)	۰/۰۵۳	۰/۰۵۸	۰/۰۸۹	۰/۰۱۲
MnO	۰/۰۱۸		۰/۰۰۱	۰/۰۸۲
MgO	۰/۰۷	-	-	۰/۰۶۳
CaO	۱/۰۲۷	۰/۹۳۴	۰/۷۰۳	۲/۰۰۹
Na ₂ O	۱۰/۰۵۹۹	۱۰/۰۹۹۱	۱۰/۰۹۰۳	۹/۰۳۱۲
K ₂ O	۰/۱۳۹	۰/۰۲۸	۰/۰۶۷	۰/۰۳۰۳
P ₂ O ₅	-	۰/۰۱۸	-	-
Total	۹۹/۱۰	۹۹/۴۵	۹۷/۴۳	۹۶/۴۷
%An	۷/۹۹	۴/۶۸	۲/۷۶	۱/۷۶

جدول ۲ نتایج تجزیه میکروپرورب فنوکریستهای پیروکسن.

شماره نقطه	۱۹۴/۱۳۲	۲۰۰/۱۱۲	۲۴۲/۱۱۲	۷/۱۲۵	۸/۱۳۵	۱۰/۱۳۵	۱۱/۱۳۵
SiO ₂	۵۲/۲۴۴	۵۱/۷۲۹	۵۲/۳۳۳	۵۱/۷۵۳	۵۲/۸۱۵	۵۲/۷۵	۵۱/۶۷۶
TiO ₂	۰/۶۵۸	۰/۶۵۲	۰/۴۶۳	۰/۵۶۵	۰/۴۷	۰/۴۸۲	۰/۶۰۵
Al ₂ O ₃	۲/۳۱۹	۳/۲۷	۱/۴۰۹	۳/۱۰۷	۲/۰۷۵	۲/۱۱۹	۲/۷۰۳
FeO _(t)	۸/۳۹۵	۸/۱۱۷	۸/۶۹۴	۸/۵۷۹	۸/۲۰۲	۷/۸	۸/۴۰۴
MnO	۰/۳۲۸	۰/۲۷۷	۰/۰۱۳	۰/۴۱۷	۰/۰۷۱	۰/۴۴۲	۰/۳۰۵
MgO	۱۵/۴۶۱	۱۴/۷۰۷	۱۵/۲۵۹	۱۵/۰۴۶	۱۵/۰۴۲	۱۵/۶۸۲	۱۵/۴۲۹
CaO	۲۱/۳۲۳	۲۱/۸۴	۲۰/۰۱۸	۲۱/۰۲۷	۲۰/۳۵۳	۲۱/۱۴۴	۲۱/۱۹۵
Na ₂ O	۰/۳۱۳	۰/۲۵۸	۰/۴۲۴	۰/۳۱۱	۰/۳۵۷	۰/۳۸	۰/۳۶۲
K ₂ O	۰/۰۰۳	-	-	-	-	-	۰/۰۰۱
P ₂ O ₅	۰/۰۱۵	-	۰/۰۲۲	-	-	۰/۰۴۶	-
Total	۱۰/۱۰۶	۱۰۰/۸۵	۹۹/۶۳۵	۱۰۰/۰۸۱	۱۰۰/۰۳۹	۱۰۰/۰۸۵	۱۰۰/۰۷۳
شماره نقطه	۱۲/۱۲۵	۱۳/۱۳۵	۱۴/۱۳۵	۱۸/۱۳۵	۲۲/۱۴۶	۲۳/۱۴۶	۱۲۴/۱۵۳
SiO ₂	۵۲/۰/۱۷	۵۱/۹۸۹	۵۱/۹۳۹	۵۲/۴۹۴	۵۲/۳۳۶	۵۲/۰/۰۵	۵۲/۸۲۷
TiO ₂	۰/۵۸۸	۰/۵۸۸	۰/۵۹۲	۰/۳۶۷	۰/۰۱۸	۰/۰۹	۰/۲۱۲
Al ₂ O ₃	۲/۱۲	۲/۰/۰۷	۲/۹۹۲	۱/۴۷۸	۱/۹۷۷	۱/۷۸۴	۰/۹۸۳
FeO _(t)	۸/۰۵۶۴	۸/۴۹۴	۸/۶۰۶	۸/۴	۸/۳۶۷	۹/۴۰۵	۸/۱۴۳
MnO	۰/۶۱۷	۰/۳۷۴	۰/۰۲۶	۰/۲۷۲	۰/۰۶۱	۰/۲۱۲	۰/۶۲۸
MgO	۱۵/۰۶	۱۵/۴۹۸	۱۵/۰/۰۷	۱۵/۰۶	۱۵/۰۲۹	۱۵/۰۰۵	۱۴/۶۹۵
CaO	۲۰/۰۵۴	۲۱/۰۶۲	۲۱/۰/۲۱	۲۱/۰۴۸	۲۰/۰/۷۶۱	۲۰/۰/۴۱	۲۲/۰۵۳
Na ₂ O	۰/۳۷۸	۰/۳۸۴	۰/۰۳۷	۰/۳۷۴	۰/۴۳۳	۰/۲۹۳	۰/۳۶۵
K ₂ O	۰/۰۵۳	۰/۰/۰۲	-	-	-	-	-
P ₂ O ₅	-	۰/۰۱۹	۰/۰۸۲	۰/۰۱۷	۰/۰۶	۰/۰۲۴	-
Total	۱۰۰/۰	۱۰۰/۰۹۲	۱۰۰/۰۸۷	۱۰۰/۰۵۱	۱۰۰/۰۳۴	۱۰۰/۰۸۸	۱۰۰/۰۳۸

ادامه جدول ۲ نتایج تجزیه میکروپرور فنوکربستهای پیروکسن.

شماره نقطه	۱۷۵/۱۴۸	۱۷۶/۱۴۸	۱۷۷/۱۴۸
SiO_2	۵۲/۴۶۴	۴۸/۷۵۸	۴۵/۹۸۶
TiO_2	۰/۱۹۶	۰/۰۵۵۵	۱/۲۶۳
Al_2O_3	۰/۷۳۴	۳/۸۰۶	۶/۶۰۵
$\text{FeO}_{(t)}$	۵/۰۳	۶/۷۵۹	۸/۳۸۶
MnO	۰/۰۸۱	۰/۱۴۳	۰/۱۵۱
MgO	۱۴/۶۲۹	۱۴/۴۱۴	۱۲/۹۸۱
CaO	۲۱/۹۸۵	۲۲/۶۹۴	۲۲/۴۱۷
Na_2O	۰/۰۲۶	۰/۰۲۵	۰/۰۶۳
K_2O	-	-	-
P_2O_5	۰/۰۱۹	-	-
Total	۹۶/۰۶	۹۷/۳۵	۹۸/۰۵



شکل ۲ ردهبندی شیمیایی نمونه‌های گدازه تراکی آندزیتی در نمودار TAS. جهت مقایسه پترولولوژیکی، همراه با نمونه‌های تراکی آندزیتی (■)، نمونه‌های تراکی بازلتها (○) نیز آورده شده‌اند [۷].

ویژگیهای شیمیایی و بافتی کانیها

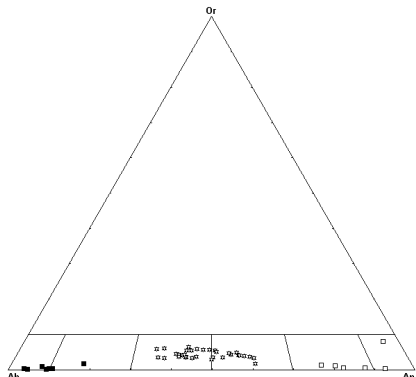
از آنجا که هدف این نوشتار، ارائه سلسله شواهدی مبنی بر روند تحولی مagma تراکی آندزیتی منطقه آبرتش در سیستمی باز است که در آن magma حاصل از ذوب بخشی در یک مخزن magmaی اختلاط پیدا کرده‌اند، در ادامه مشخصات بافتی و شیمیایی هر یک از فنوکربستهای موجود در سنگ به طور جداگانه مورد بحث قرار می‌گیرد و در پایان به بحث و نتیجه‌گیری می‌پردازیم.

(۱) فلدسپاتها

فنوکریست غالب سنگ، پلازیوکلاز و ندرتاً سانیدین است که فراوانی مودال مجموع آنها بیش از ۴۰٪ است. داده‌های تجزیه میکروپروب همراه با مشاهدات میکروسکوپی، وجود اختصاصات زیر را در کانیهای مذکور نشان می‌دهد:

(الف) ترکیب چندگانه: نمایش داده‌های ترکیبی پلازیوکلاز بر حسب $An\%$ روی مثلث ترکیب فلدسپاتها (شکل ۳) حاکی از وجود یک دامنه ترکیبی گسترده از پلازیوکلازها از آلبیت نسبتاً خالص تا آنورتیت تقریباً خالص در نمونه‌هاست که با توجه به وجود وقفه‌های ترکیبی می‌توان آنها را به سه جمعیت جداگانه شامل: An_{5-20} ، An_{36-61} ، و بالاخره An_{77-93} تقسیم کرد. مسلماً این سه جمعیت که به فاصله کوتاهی از هم جدا می‌شوند، محصول بلور شدن آبگونهایی هستند که امکان همزیستی تعادلی در کنار هم را نداشته‌اند [۸ تا ۱۰].

(ب) منطقه‌بندی: همانند اغلب سنگهای آتشفسانی، پلازیوکلازهای این روانه گذازه نیز منطقه‌بندی ترکیبی نشان می‌دهند. نوع منطقه‌بندی با توجه به داده‌های میکروپروب از چند نمونه پلازیوکلاز (جدول ۳) از نوع نوسانی تشخیص داده شد که خود حکایت از نوسان در شرایط فیزیکوشیمیایی حاکم بر سیستم بلوری شدن دارد [۸].



شکل ۳ نمایش سه مجموعه ترکیبی مختلف در فنوکریستهای پلازیوکلاز روانه تراکی‌آندزیتی با وقفه‌های فاحش بین آنها.

جدول ۳ مقادیر $An\%$ در مناطق حاشیه، وسط و مرکز فنوکریست پلازیوکلاز. داده‌های ردیفهای اول و سوم، به ترتیب مربوط به شکلهای ۴-الف و ب هستند.

مرکز	وسط	حاشیه	شماره نمونه
$\%An$	$\%An$	$\%An$	
۵۸	۶۰	۵۵	A.132
۸۸	۹۳	۸۱	A.132
۶۱	---	۴۵	A.122
۵۱	۵۷	۵۰	A.122
۴۶	۴۴	۳۸	A.140
۴۹	---	۴۳	A.140
۳۶	۳۸	۳۶	A.146
۴۳	۴۶	۴۳	A.153
۴۵	۴۳	۵۰	A.153

ج) حاشیه‌های واکنشی پتاسیک: پدیده غالب در مورد تمام پلاژیوکلازها اعم از اینکه دارای منطقه‌بندی باشند یا نباشند، وجود حاشیه‌های واکنشی نازک در حد فاصل بین فنوکریست و خمیره شیشه‌ای آنهاست (شکل ۵-ب، د، ه). تجزیه شیمیایی این حاشیه‌ها، ترکیب‌شان را از نوع پتاسیم فلدسپات نشان داده است. با توجه به ترکیب پتاسیک کلی سنگ ($K_2O = 3,8\%$ - $1,8\%$) و فراوانی کمتر فنوکریستهای پتاسیم فلدسپات، می‌توان نتیجه گرفت که ترکیب خمیره شیشه‌ای سنگ، پتاسیک باشد.

د) خوردگی شیمیایی: تقریباً در بیشتر فنوکریستها اعم از پلاژیوکلاز، سانیدین، کوارتز و حتی برخی کانیهای مافیک، بافت‌های خوردگی مشاهده می‌شود (شکل ۶-ج، د) که این نیز نشان از ناپایداری فیزیکوشیمیایی فنوکریستها در آبگونی اشباع شده از آن فاز در حین فوران و انجاماد نهایی دارد [۱۱ و ۱۲ و ۱۳ و ۱۴].

ه) بافت غربالی: به دام افتادن ورودیهای آبگون در پلاژیوکلازهای این روانه، شکلهای مختلفی از بافت غربالی را ایجاد کرده است که از آن جمله است: ورودیهای آبگون موازی با سطوح ماکل، مدل منطقه‌بندی موازی با حاشیه بلور، مدل بلور اسکلتی شده (شکل ۵). با توجه به مشاهده چنین بافت‌هایی توسط مؤلفین مختلف [۱۳ تا ۱۶] می‌توان علت تشکیل آنها را به ناپایداری فنوکریستهای پلاژیوکلاز در آبگون اشباع شده از آن و لذا تفاوت ترکیب فاحش بین آنها در نظر گرفت. این موضوع توسط این محققین و افراد دیگر [۸ تا ۱۰، ۱۳، ۱۶ و ۱۷] حمل بر اختلاط ماقمایی شده است.

۲) اوزیت

اوژیت دیوپسیدی با طیف ترکیب محدود (شکل ۷) هم به صورت فنوکریست و هم به صورت ذرات ریز داخل خمیره و بین میکرولیتها دیده می‌شود. از این رو تشکیل آن از ابتدا تا انتهای بلوری شدن با ترکیبی نسبتاً ثابت به طول انجامیده است.

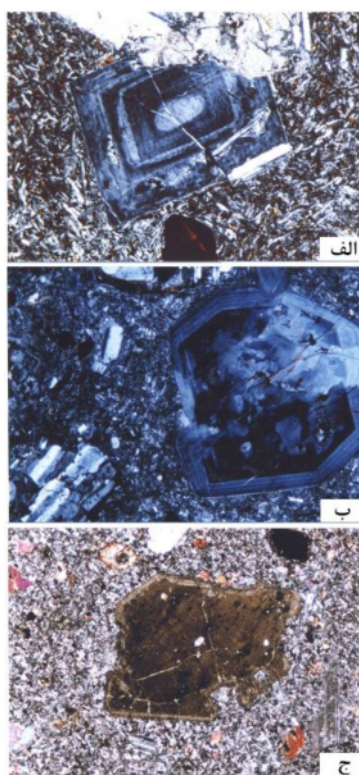
با این حال، در مواردی به دلیل مشاهده بافت‌های غربالی، منطقه‌بندی (شکل ۴-ج) و حاشیه‌های واکنشی، می‌توان انتظار تغییرات فاحش خمیره دربرگیرنده فنوکریستها را داشت. مسلماً ترکیب این خمیره پس از تشکیل فنوکریستها، تا حدودی از این فاز اشباع شده است که توانسته است چنین شکلی را بوجود آورد. از طرفی حضور یک مورد بافت اکسولوشنی (شکل ۶-الف) در داخل پیروکسن و عدم حضور این بافت در سایر فنوکریستهای پیروکسن می‌تواند نشان دهنده شرایط متفاوت تشکیل این بلورها و عدم تعادل آنها با یکدیگر باشد. چرا که اکسولوشن در صورتی بوجود می‌آید که منحنيهای سالیدوس و سالووس از لحاظ دمایی با یکدیگر فاصله داشته باشند و به محض از بین رفتن فاصله دمایی بین آنها شاهد بلوری شدن همزمان بلورهای مجزای دو قطب انتهایی محلول جامد خواهیم بود. بنابراین حضور بلورهای

واجد اکسولوشن در کنار انواع فاقد این بافت می‌تواند نشانه وجود دو نسل متفاوت پیروکسن ناهمزیست در کنار هم و به عبارتی مبین فرایند اختلاط مagma‌ای باشد.

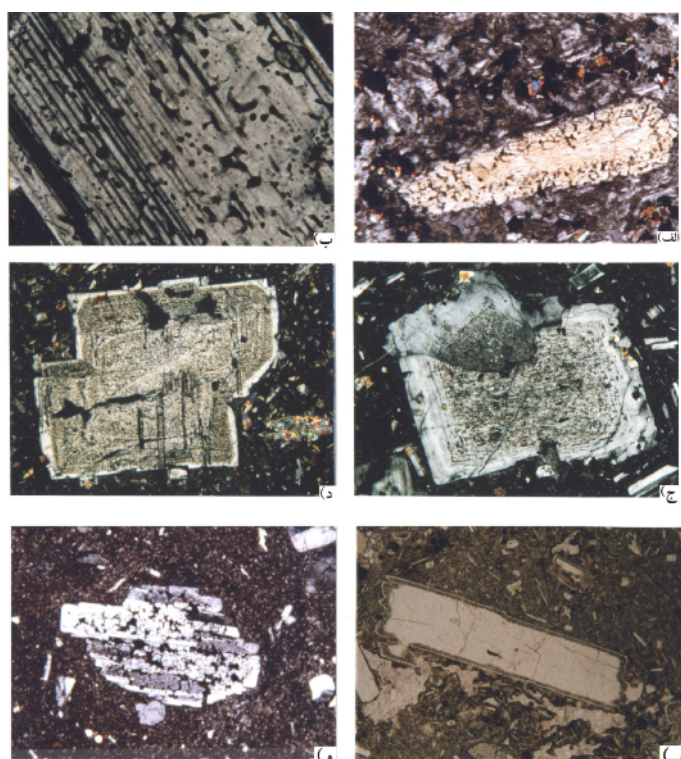
۳) بیوتیت و آمفیبول

تجزیه شیمیایی دو نمونه بیوتیت و آمفیبول موجود در این روانه گدازه ترکیب دقیق آن را در محدوده فلوگوپیت آهن‌دار₄(Al,Ti)_{1/4}(Si₆,Al₂)O₂₀(OH,F)_{4/6} و K₂(Mg_{3/3},Fe_{1/25})_{4/6}NaCa₂Mg₃Fe_{1/3}Ti_{0/2}Al_{0/5}(Si_{6/6},Al_{1/4})O₂₂(OH,F) نشان می‌دهد هورنبلند پاراگازیتی₂ که همگی حاشیه‌های اپاسیتی شده دارند (شکل ۶-ب). پایداری کانیهای مافیک آبدار نظریر آمفیبول مستلزم بالا بودن نسبی P_{H2O} و پایین بودن نسبی فشار و دما و اشباع بودن آبگون از عناصر آلکالن نظیر Na₂O است [۱۸ تا ۲۰]. به علاوه، وجود آشکال اکسایش بیوتیت و آمفیبول، بر بالا بودن P_{H2O} و f_{O2} محیط دربرگیرنده فازهای فنوکریستی و از دست رفتن آب حین بالا آمدن صحه می‌گذارد که این می‌تواند موجب بروز حالت واجذبی کامل یا ناقص شود [۱۱ و ۱۸].

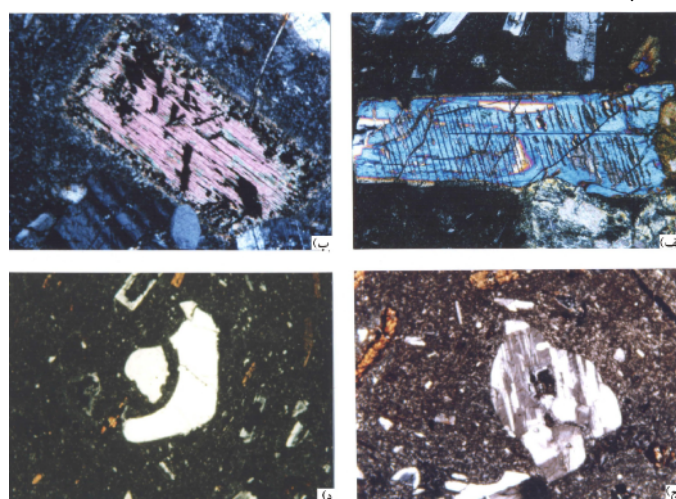
ماگنتیت در اثر تحمل حرارت زیاد و f_{O2} بالا از طرف مذاب دربرگیرنده. (ج) ایجاد و گسترش خلیج خوردگی در فنوکریست پلازیوکلاز توسط مذاب احاطه کننده که در ضمن باعث گردشگی آن نیز شده است. (د) پیشرفت خلیج خوردگی در فنوکریست کوارتز که باعث انفکاک دو قطعه و نیز گردشدن آن شده است. (به شکل ۴-ج نیز توجه شود).



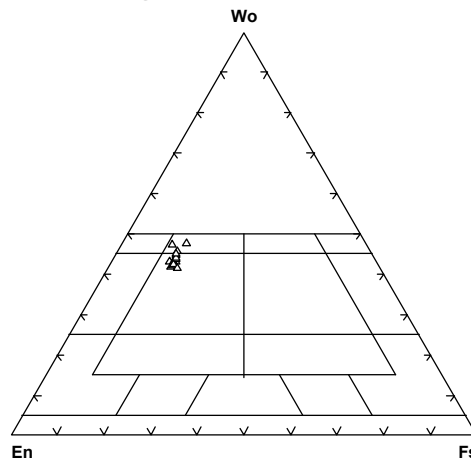
شکل ۴ نمایش انواع منطقه‌بندیها در فنوکریستهای پلازیوکلاز و پیروکسن. (الف) فنوکریست پلازیوکلاز دارای منطقه‌بندی نوسانی در یک زمینهٔ تراکیتی. (ب) فنوکریست پلازیوکلاز دارای منطقه‌بندی نوسانی با هسته همگن و حاشیه‌ای نازک از جنس پتابسیم فلدسپات. (ج) ظهر خلیج خوردگی در یک فنوکریست اوژیت دارای منطقه‌بندی. (داده‌های میکروپروب شکلهای «الف» و «ب» در ردیفهای اول تا سوم جدول ۳ آورده شده‌اند).



شکل ۵ انواع بافت‌های غریب‌الی در (الف) اوژیت و پلازیوکلاز؛ (ب) موازی با سطوح ماقبل، (ج) مدل منطقه‌ای (د) پراکندگی همگن ادخالها در متن بلور و تشکیل حاشیه و اکنشی پتاسیک در اطراف آن. (ه) تمرکز در حاشیه‌ها و احاطه‌شدن با حاشیه و اکنشی پتاسیک. (و) تشکیل بلور اسکلتی در اثر گسترش خوردگی و به دام افتادن لکه‌های مذاب.



شکل ۶ بافت‌های مبین تغییرات شرایط فیزیکی تبلور. (الف) تشکیل تیغه‌های اکسولوشنی ارتوبیروکسن به موازات سطح (100) در بلور اوزیت میزان. (ب) اپاسیتی شدن بیوتیت و تشکیل بلورهای ریز.



شکل ۷ نمودار نشان دهنده ترکیب شیمیایی فنوکریستهای پیروکسن در محدوده اوزیت و سالیت.

بحث و برداشت

تنوع و پیچیدگیهای بیشتر ولکانیسم پالئوزن در بخش‌های غربی البرز نسبت به بخش‌های مرکزی موجب شده است که علاوه بر فازهای انفجراری، فازهای کمتر انفجراری نیز به منصة ظهور برستند که بروز ریزی انواع مختلف گدازه‌های بازیک تا حد واسط و اسیدی از آن جمله است. نحوه تشکیل و روند تحولات روانه گدازه آندزیتی - تراکی آندزیتی منطقه آبرترش به دلیل مشاهده روابط بافتی ویژه، گسترش زیاد و نیز میزانی انواع کانسارهای فلزی و غیر فلزی مورد توجه این بررسی قرار گرفت.

با استناد به داده‌های شیمی کانیهای مختلف و شواهد سنگ شناسی و سنگ زائی، می‌توان چگونگی تشکیل و تکوین این واحد گدازه‌ای را با توجه به مشخصات بافتی و شیمیایی اشاره شده، به شرح زیر نتیجه گیری کرد:

۱) چنانکه در شکل ۲ ملاحظه می‌شود نمونه‌های مبین گدازه تراکی آندزیتی با نمونه‌های تراکی بازالتی منطقه قربت نزدیکی نشان می‌دهند. این پندار که ممکن است گدازه‌های تراکی آندزیتی با ترکیب اسیدی تر و آلکالن تر، از تفیریق روانه‌های تراکی بازالتی بوجود آمده باشند با مجموعه خصوصیات یاد شده هماهنگ ندارد. بلکه این بررسی نشان می‌دهد که ارتباط دو ماغما با یکدیگر، از طریق اختلاط ماغمایی هماهنگی بیشتری با شواهد به دست آمده دارد.

۲) گدازه‌های تراکی آندزیتی منطقه، به دلیل دارا بودن مقدار آلکالیهای زیاد ($K_2O = \% 1/8 - 3/8$, $Na_2O = \% 1/8 - 3/8$) جزء سنگهای آلکالن محسوب می‌شوند. اما به دلیل آنکه فازهای فنوکریستی غالب سنگ (پلازیوکلاز و اوزیت) حاوی پتانسیم کمی

هستند می‌توان نتیجه گرفت که بیشتر این مقدار پتسیم را باید در مزوستاز سنگ جستجو کرد. از دیگر سو مشاهده حاشیه‌های واکنشی پتسیک در گردآگرد برخی فنوکریستهای پلازیوکلاز و خوردگی شیمیایی در اغلب فنوکریستها می‌تواند بر ناپایداری شیمیایی این فازها و اشباع بودن آنها در آبگون دربرگیرنده‌شان صحه گذارد [۱۱ تا ۱۴].

(۳) مشاهده سه جمعیت پلازیوکلاز با ترکیب متفاوت (An_{5-20} و An_{36-61} و نیز An_{77-93}) احتمال بلوری شدن آنها از آگونهای مختلف را تقویت می‌کند [۸ تا ۱۰]. به علاوه وجود انواع منطقه‌بندیهای نوسانی این کانیها، تغییرات ترکیبی فاز لیکیدوس در طول تبلور را نشان می‌دهد. این پدیده می‌تواند مبین ضربانهای ماگمایی با ترکیب مختلف به داخل مخزن ماگمایی نیز باشد.

(۴) از آنجا که بافت‌های غربالی در پلازیوکلازها از گسترش قابل توجهی برخوردارند، اشکال مختلف چنین بافتی، تفکر تشکیل آنها در اثر اختلاط ماگمایی را به ذهن متبار می‌سازد که مورد نظر مؤلفین مختلف نیز هست [۸۰ و ۹۰ و ۱۳ و ۱۵ و ۱۴ و ۱۷ و ۱۶].

(۵) مشاهده سوختگی در کانیهای آبداری چون بیوتیت فلوگوپیتی و هورنبلند پاراگازیتی از یک طرف و بالابودن P_{H2O} در انتهای تاریخ بلوری شدن از طرف دیگر، بالا بودن f_{O2} هنگام بروز ریزی گدازه را نشان می‌دهد. به علاوه مشاهده بافت اکسولوشنی در برخی فنوکریستهای پیروکسن در کنار انواع فاقد این بافت می‌تواند نشانه همزیستی دو نسل پیروکسن (یکی در شرایط P_{H2O} بالا و دیگری در شرایط P_{H2O} پایین) باشد که خود تأییدی بر وقوع فرایند اختلاط ماگمایی است. [۱۱ و ۱۸ و ۱۹].

(۶) مشاهده زینولیتهای مختلف (اعم از آتشفسانی و ساب ولکانیک) به عنوان قطعات بیگانه با سایر ساختارها و نیز وجود احتمالی زینوکریستهای حاصل از هضم آنها و یا از هر منشأ احتمالی دیگر، می‌تواند دلیلی دیگر بر ورود مواد به داخل مخزن ماگمایی به عنوان سیستمی باز باشد.

مراجع

- [1] De-Dual E., "Zur geologie des mittleren und unteren Karaj-Tales, Zentral Elburz (Iran)", Mitt.Geol.Inst.E.T.H.U., Thesis.Univ.Zurich, no.76 (1967) 125p.
- [2] Annells R.N., Arthurton R.S., Bazely R.A., Davies R.G., "Explanatory text of the Qazvin and Rasht quadrangle map (1:250000)", G.S.I. Rep., noE3,E4 (1975) 94p.
- [3] Stocklin J., Eftekhar-nezhad J., "Explanatory text of the Zanjan quadrangle map (1:250000)", G.S.I. Rep., noD4 (1969) 61p.
- [۴] آسیابانها ع.، زمین‌شناسی و پتروژئر رخساره‌های آتشفسانی منطقه یوزباشی چای (غرب قزوین). رساله دکتری دانشگاه تربیت مدرس (۱۳۸۰) ۳۲۱ ص.

[۵] درویش زاده ع.، آسیابانها ع.، "نقش آذرآواریها در گسترش ترجیحی دگرسانی گرمابی در منطقه آتشفشانی آبرش"، فصلنامه علوم زمین، شماره ۳۷-۳۸ (۱۳۸۰) ص ۴۸-۵۹.

[۶] حسینی م.، "آلونیت زایی در منطقه طارم، مجموعه مقالات دومین همایش انجمن زمین شناسی ایران (۱۳۷۷) ص ۱۷۹-۱۸۵.

[7] Le Maitre R.W.(eds), "A classification of igneous rocks and glossary of terms", (1989), Blackwell. 128p.

[8] Halsor S.P., "Large glass inclusions in plagioclase phenocrysts and their bearing on the origin of mixed andesitic lavas at Toliman Volcano, Guatemala", Bull Volcanol 51 (1989) 271-280

[9] Eichberger J.C., "Andesites in island arcs and continental margins: relationships to crustal evolution", Bull. Volcanol 41 (1978) 480-500

[10] Nelson S.T., Montana A., "Sieve-textured plagioclase in volcanic rocks produced by rapid decompression", American Mineralogist 77 (1992) 1242-1249

[11] Best M.G., Christiansen E.H., "Igneous Petrology", Blackwell (2001) 458p.

[12] Bard J.P., "Microtextures of igneous and metamorphic rocks", Reidel (1986) 264p.

[13] Tsuchiyama A., "Dissolution kinetics of plagioclase in the melt of the system diopside-albite-anorthite and origin of dusty plagioclase in andesites", Contrib.Mineral.Petrol. 89 (1985) 1-16

[14] Stamatelopoulou-Seymor K., Vlassopoulos D., Pearce H.T., Rice C., "The record of magma chamber processes in plagioclase phenocryst at Thera Volcano, Aegean Volcanic Arc, Greece", Cont. Min. Pet. 104 (1990) 73-84.

[15] Singer S.B., Pearce H.T., Kolisnik A.M., Myers D.J., "Plagioclase zoning in mid-Pleistocene lavas from the Seguam volcanic center, central Aleutian arc", Alaska. Am. Min. 78(1993) 143-157.

[16] Kawamoto T., "Dusty and honeycomb plagioclase: indicators of processes in the Uchino stratified magma chamber", Izu Peninsula, Japan. Journal of Volcanology and Geothermal Research. 49(1992) 191-208.

[17] Dungan M.A., Rhodes J.M., "Residual glasses and melt inclusions in basalts from DSDP Legs 45 and 46: evidence from magma mixing", Contrib.Mineral.Petrol. 67 (1978) 417-431

[18] Hess P.C., "Origins of Igneous Rocks", Harvard University. Cambridge. (1989) 336p.

[19] Sigurdsson H., Houghton B., Rymer H., Stix J., McNutt S., "Encyclopedia of Volcanoes", Academic Press. (2000) 1000p.

[20] Merzbacher C., Eggler DH., "A magmatic geohygrometer: Application to Mount St. Helens and other dacitic magmas", Geology 14 (1984) 804-806

[۲۱] درویش زاده ع.، پترولوزی، انتشارات دانشگاه پیام نور (۱۳۸۲) ص ۳۱۰.

[۲۲] کریمپور م.ح.، پترولوزی سنگهای آذرین و کانسارهای ماسه‌گمایی، نشر مشهد (۱۳۷۷).

.ص ۳۴۳